

II-253 多孔性媒質中の流れ軸方向の分散現象に対する拡散式の通用について

京都大学原子炉実験所 桂山幸典 ○ 正員 福井正美

§-1 研究の目的および方法

イオン交換クロマトグラフィーやろ過などの単位操作だけではなく、自然環境のもとでも地下水中ににおける汚染物質の流入、移行過程などには、イオンや分子の分散現象がみられる。このような現象を定量的に把握するため、従来、毛管モデルや統計モデルが用いられてきたが、最終的に分散現象を表現する式は Pick の第 2 法則である拡散式と同一形の基礎式で表わされている。したがって、本研究では間隙内平均流速、充填材、充填粒子径、カラム長などの物理量を変えて場合についての分散係数を求める。その結果、分散係数により分散現象が表わされるか、すなはち、分散現象を拡散式で定量的に表現できるかどうかを検討し、さらに解析解の得られない非一定濃度流入源に対する流出曲線を差分解により求め、その妥当性を検討した。

P. V. Danckwerts は、二種の異なる色素界面が流速 V で、ある区間 L を移動する場合、微少な色素流速がランダム運動理論に従うとして、拡散の基礎式と同形の(1)式より分散係数 D を定義した。また、L. Lapidus は、低流速域では分子拡散が卓越するとして、微少な媒質内におけるトレーサー物質の保存式から得られる(2)式を分散現象に適用した。

$$\frac{\partial C}{\partial t} = D \frac{\partial^2 C}{\partial x^2} \quad (1) \quad \frac{\partial C}{\partial t} = D \frac{\partial^2 C}{\partial x^2} - V \frac{\partial C}{\partial x} \quad (2)$$

$P_e = V \cdot L / 4D$ は $V \cdot L / 4D$, $\gamma = V \cdot t / L$ として累次元数を用いれば、一定濃度 C_0 が流入する場合について(1), (2)式の解は(3), (4)式で表わされる。

$$\frac{C}{C_0} = \frac{1}{2} \left\{ 1 - \operatorname{erf} \left(\frac{1-\gamma}{\sqrt{P_e}} \right) \right\} \quad (3)$$

$$\frac{C}{C_0} = \frac{1}{2} \left\{ 1 - \operatorname{erf} \left(\frac{1-\gamma}{\sqrt{P_e}} \right) \right\} + \frac{1}{2} \left\{ 1 - \operatorname{erf} \left(\frac{1+\gamma}{\sqrt{P_e}} \right) \right\} \exp(4P_e) \quad (4)$$

分散係数 D および拡散係数 D は、それらの(3), (4)式から、実験的に求められた流出曲線との偏差が最小となるようにして求められる P_e 数から決定される。

§-2 実験結果および考察

豊浦標準液を用いて得た流出曲線を図-1 に示すが、これによれば流速が変化しても、流出曲線にはどの影響

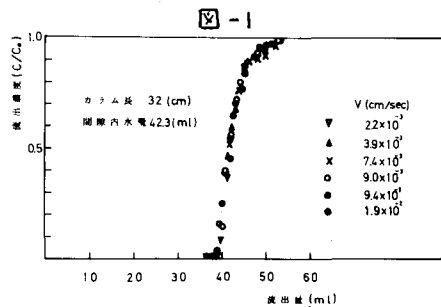


図-1

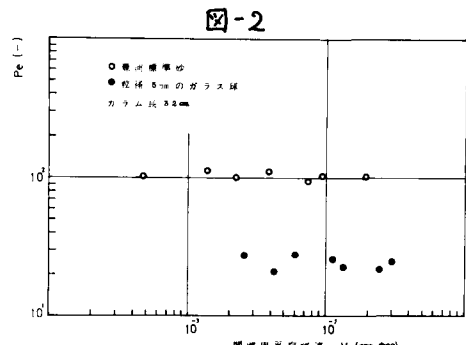


図-2

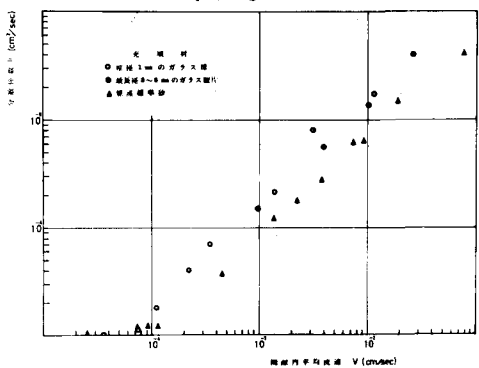


図-3

がみらかず、分散の様度は変わらない。それは、充填材粒径が 0.5 cm 以下で、流速が 0.1 cm/sec 以下ならば、常温附近での水の流れはRe数が10以下で、層流状態にあるためと思われる。この場合、(3)、(4)式から得られるDとV値を表一に示すが、同一流速の場合にはそれほど差がない。すなわち、Dは本来の分子拡散のみを表わすものではなく、微少な流體の速度差による分散現象をも含んでるものと考えられる。また、種々の流速に対するD値は、実験により得られたPe数が図-2にみらかすようく、ほぼ一定の値をとるため、同一の流下距離に対するD $= (L/4 \cdot Pe) \cdot V$ の関係から、図-3にみらかすように、ほぼ正比例の関係となる。しかしながら 10^{-4} cm/sec 以下では、Dは $1 \sim 1.2 \times 10^{-5}\text{ cm/sec}$ と、分子拡散係数値にはば等しくなり、分子拡散の卓越する流速域が 10^{-4} cm/sec 以下であることが明らかになつた。以上述べたことから、種々の充填材についてD値を比較する場合には、同一の流速で行なわれればならない。図-4は5種類のガラス球を充填材とし、 $1.0 \pm 0.1 \times 10^{-2}\text{ cm/sec}$ の平均流速でDを求めてある。これによれば、充填材粒径の平方根にはば比例して増加していくようである。また、この場合のD/V値は表-2のようく、粒径が大きくなるにつれて大きくなり、形状や空隙率をも含めて充填材持続の値をとる。しかしここでは、分散の一つの成因とみなされる微視的な流體が流れの行程あるいはその屈曲度に相当するような量を表わしてあると考えられる。さらに、同一流速で、流下距離を変えて表-3にみらかすように同一充填材ではDはほぼ一定になり、このことからもD/Vが充填材の個別の値であることがわかる。以上のことから、DとVのものはVが従属し、実際の分散量を定量的に表わし得ない、すなわち、拡散式により分散現象を表わすこととは本質的な方法ではないが、充填材の個別の値D/Vが実験的に求められければ、それを含むPe数により拡散式から分散量を定量的に論ずることが可能である。このことから、解析的に求めることの困難である非一定濃度流入源の流出曲線についてもPe数を与えることによりその応答予測が可能である。図-5は正弦波流入源の場合の差分解であるが、その他の流入源について、差分解との適合性を検討した結果は講演時に述べる。

図-4

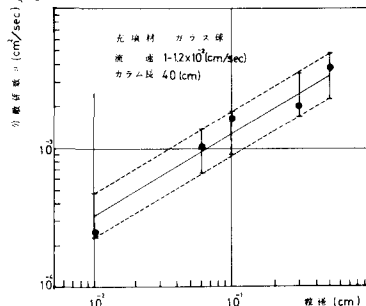


表-1 様々の流速に対する拡散係数と分散係数の比

流速 (cm/sec)	2.3×10^3	3.9×10^3	7.4×10^3	9.4×10^3	1.9×10^2	7.7×10^2
拡散係数 D (cm ² /sec)	1.9×10^{-4}	2.7×10^{-4}	6.0×10^{-4}	7.1×10^{-4}	1.4×10^{-3}	3.9×10^{-3}
分散係数 v (cm ² /sec)	1.8×10^{-4}	2.8×10^{-4}	6.4×10^{-4}	7.4×10^{-4}	1.5×10^{-3}	4.1×10^{-3}

カラム長 L = 32(cm)

表-2 充填材粒子と D/V の関係

ガラス球 粒径 (mm)	0.1	0.6	1.0	3.0	5.0
D/V (cm)	3.6×10^{-2}	8.8×10^{-2}	1.5×10^{-1}	1.8×10^{-1}	3.3×10^{-1}
ガラス破片 (半周径 22 mm)				1.6×10^{-1}	
繊維織半径					7.4×10^{-2}
カラム長 L					20 (cm)

表-3 同一流速に対する分散係数

充填材	繊維織半径	1mm球ガラス球	5mm球ガラス球
流下距離 (cm)	20 32	20 40	15 32 48
分散係数 (cm ² /sec)	8.2×10^{-4} 7.6×10^{-4} 1.5×10^{-3} 1.1×10^{-3}	3.0×10^{-3} 4.1×10^{-3} 4.0×10^{-3}	

間隔内平均流速 $V = 1.0 \times 10^{-2}$ (cm/sec)

図-5

